

Gráfico de l\_poplit\_angle según gmfcs donde p-valor = 0.0114689

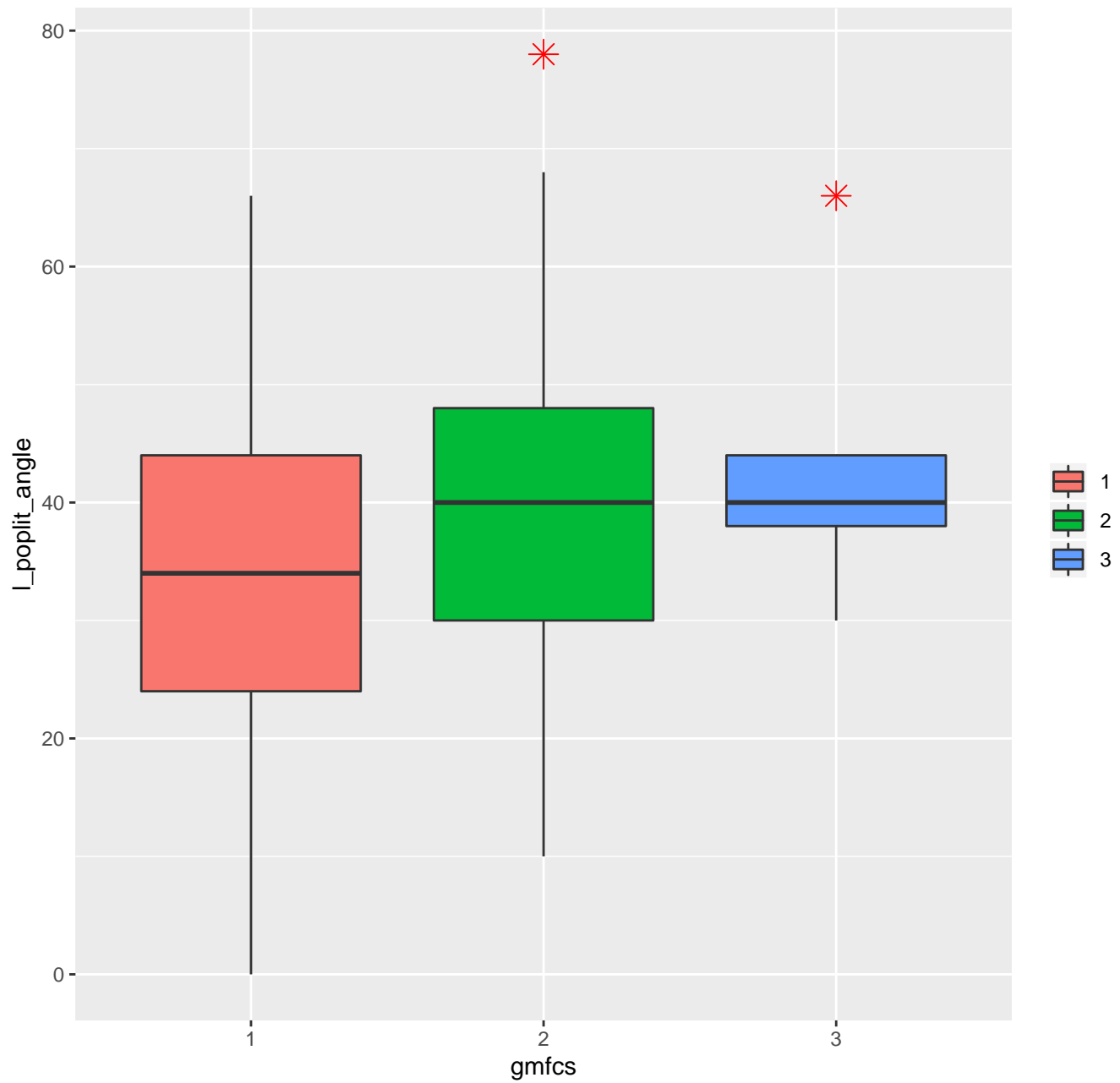


Gráfico de I\_poplit\_angle según distrib donde p-valor = 0.0016214

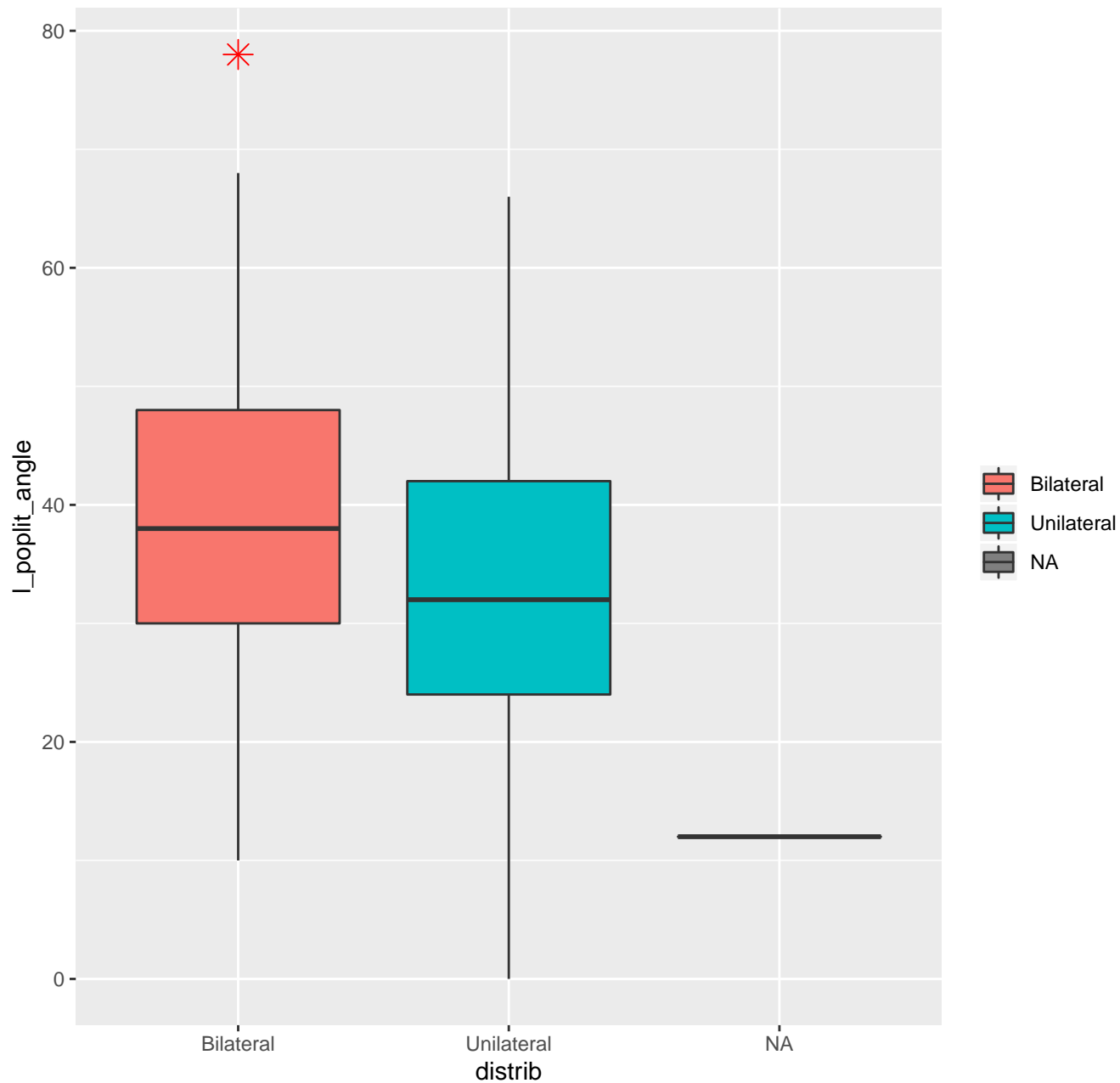


Gráfico de l\_poplit\_angle según quad\_r\_tone donde p-valor = 0.0115483

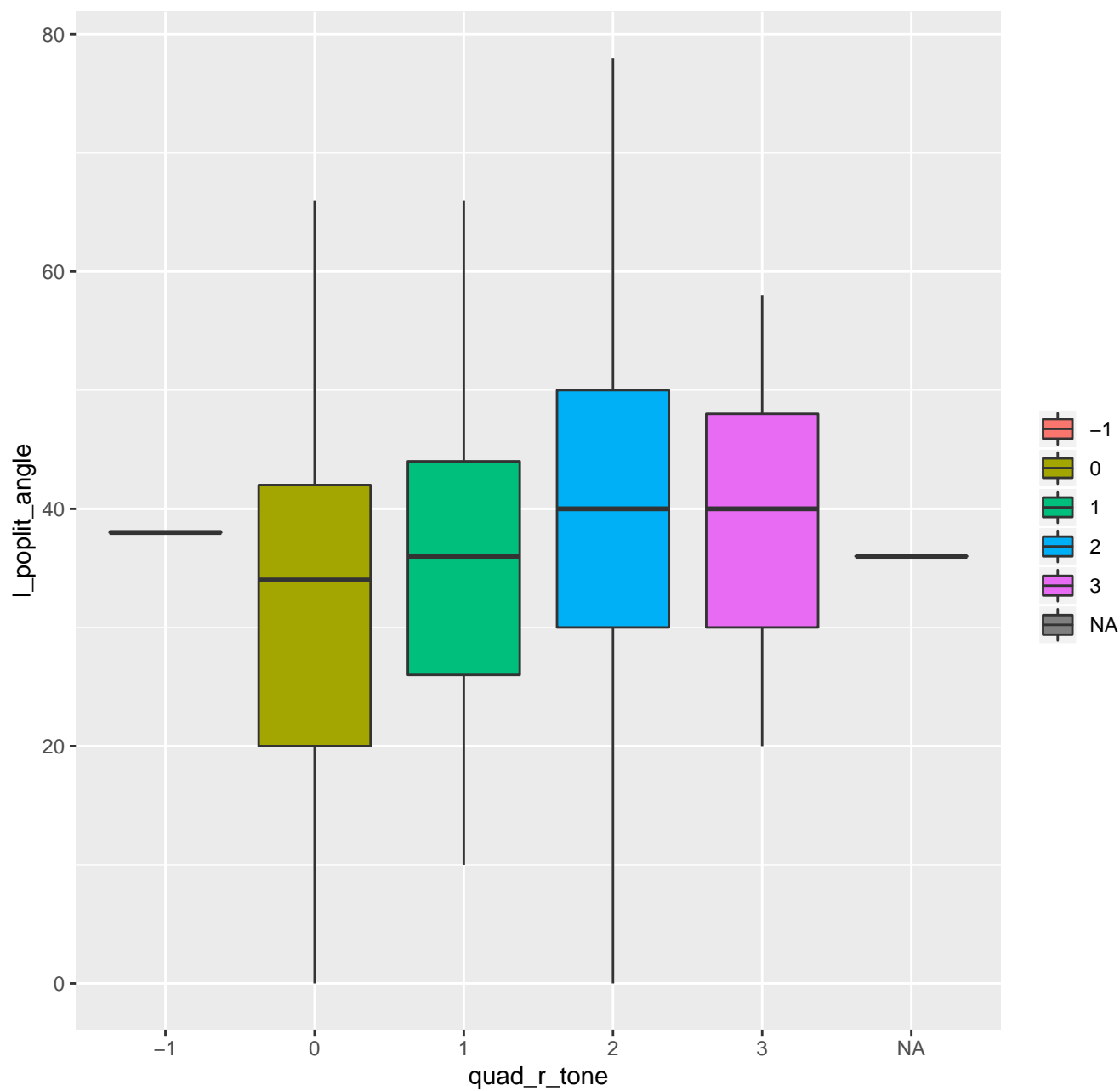


Gráfico de l\_poplit\_angle según quad\_l\_tone donde p-valor = 0

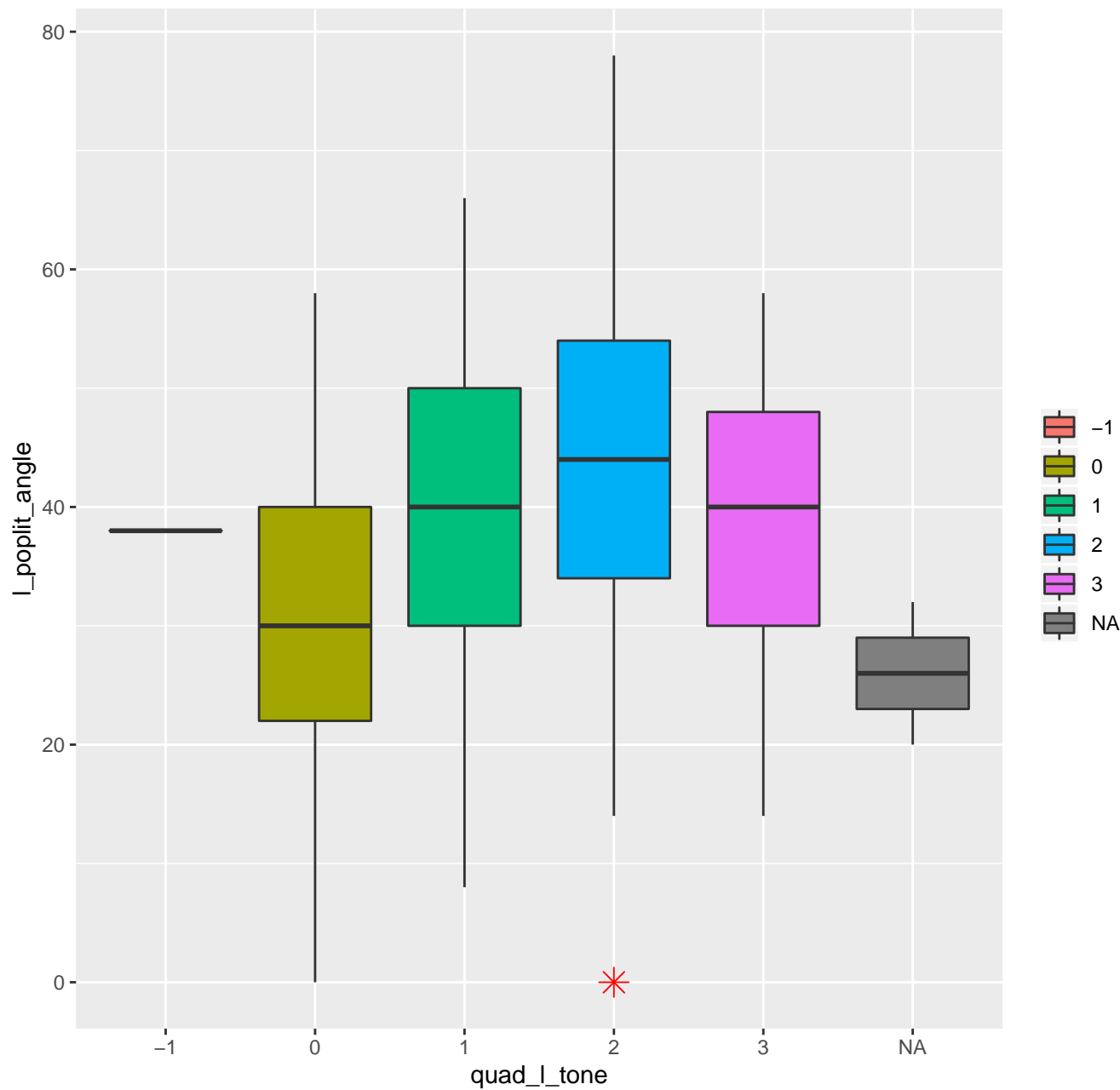


Gráfico de l\_poplit\_angle según hip\_flex\_l\_tone donde p-valor = 0

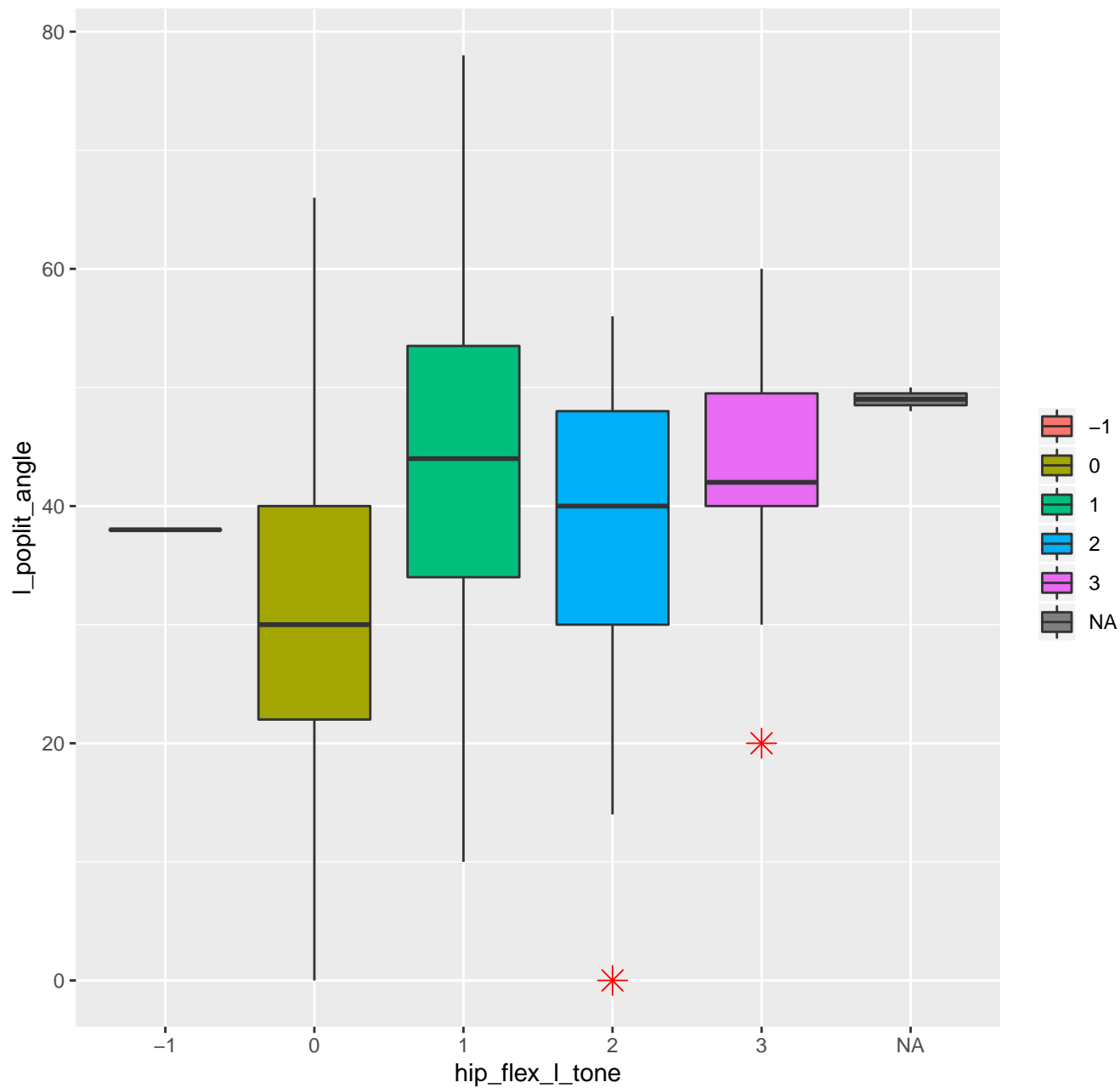


Gráfico de l\_poplit\_angle según gastrocn\_r\_tone donde p-valor = 0.0135102

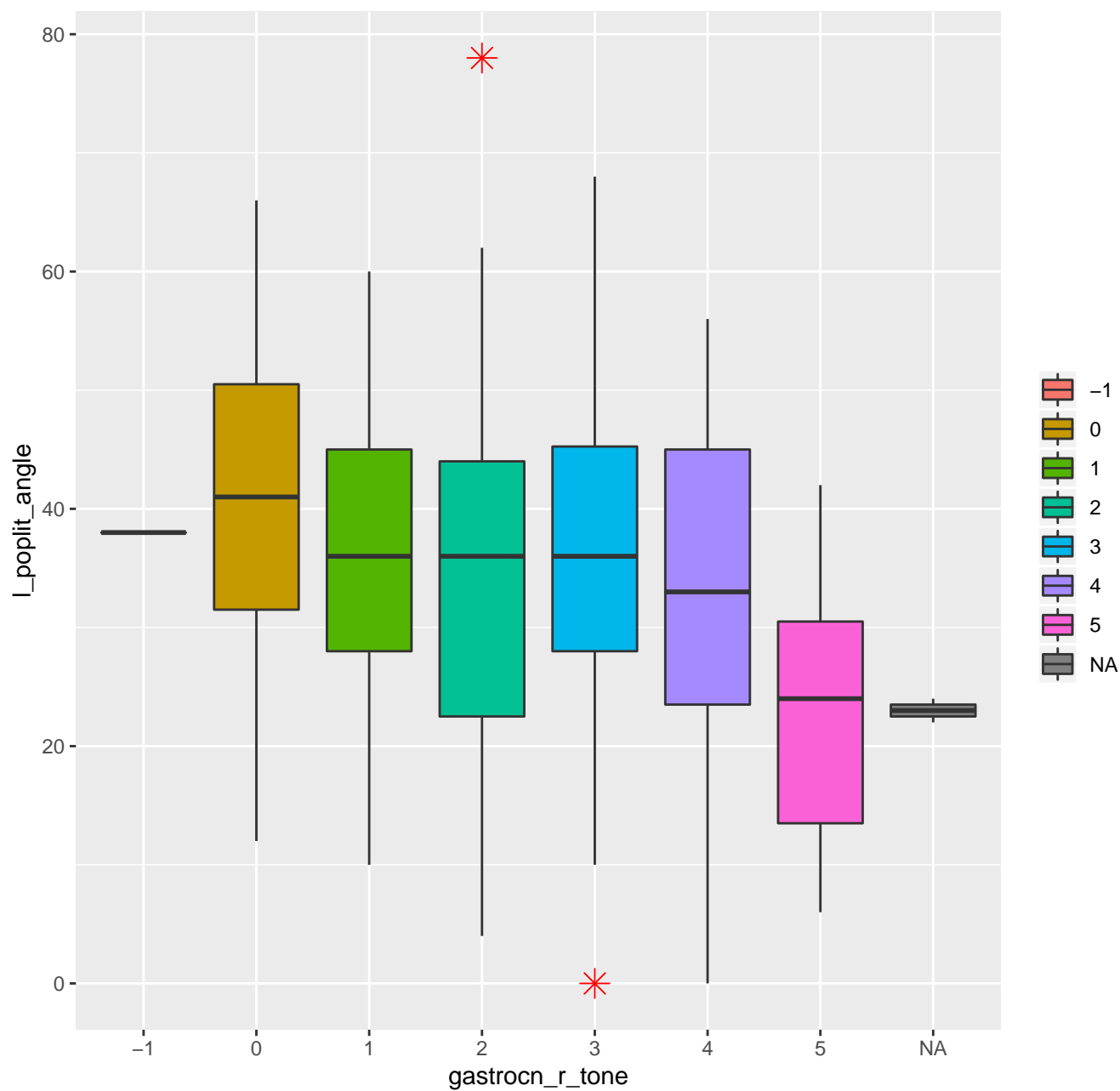


Gráfico de l\_poplit\_angle según gastrocn\_l\_tone donde p-valor =  $8e-05$

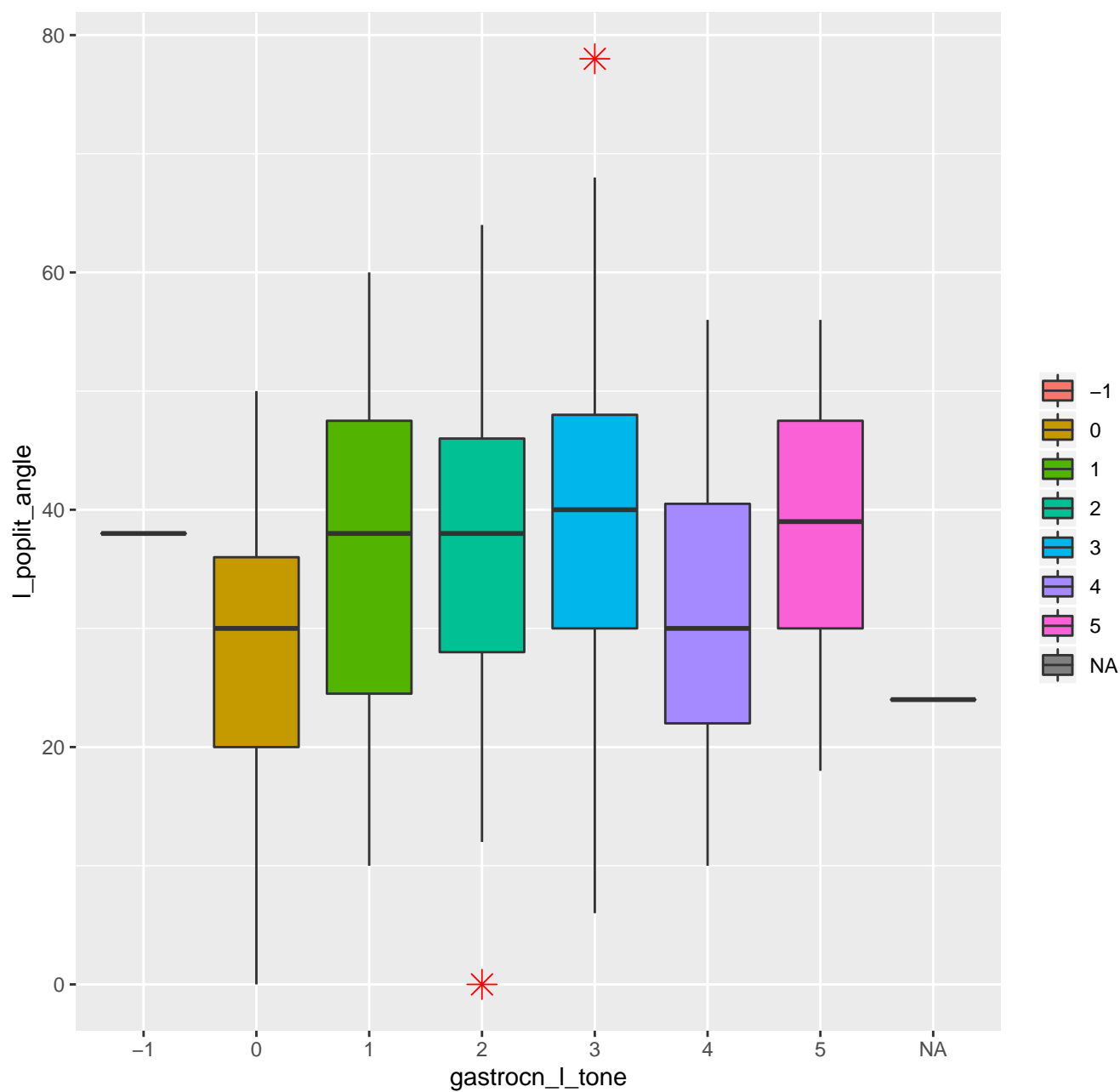


Gráfico de l\_poplit\_angle según hamstr\_r\_tone donde p-valor = 0.0147459

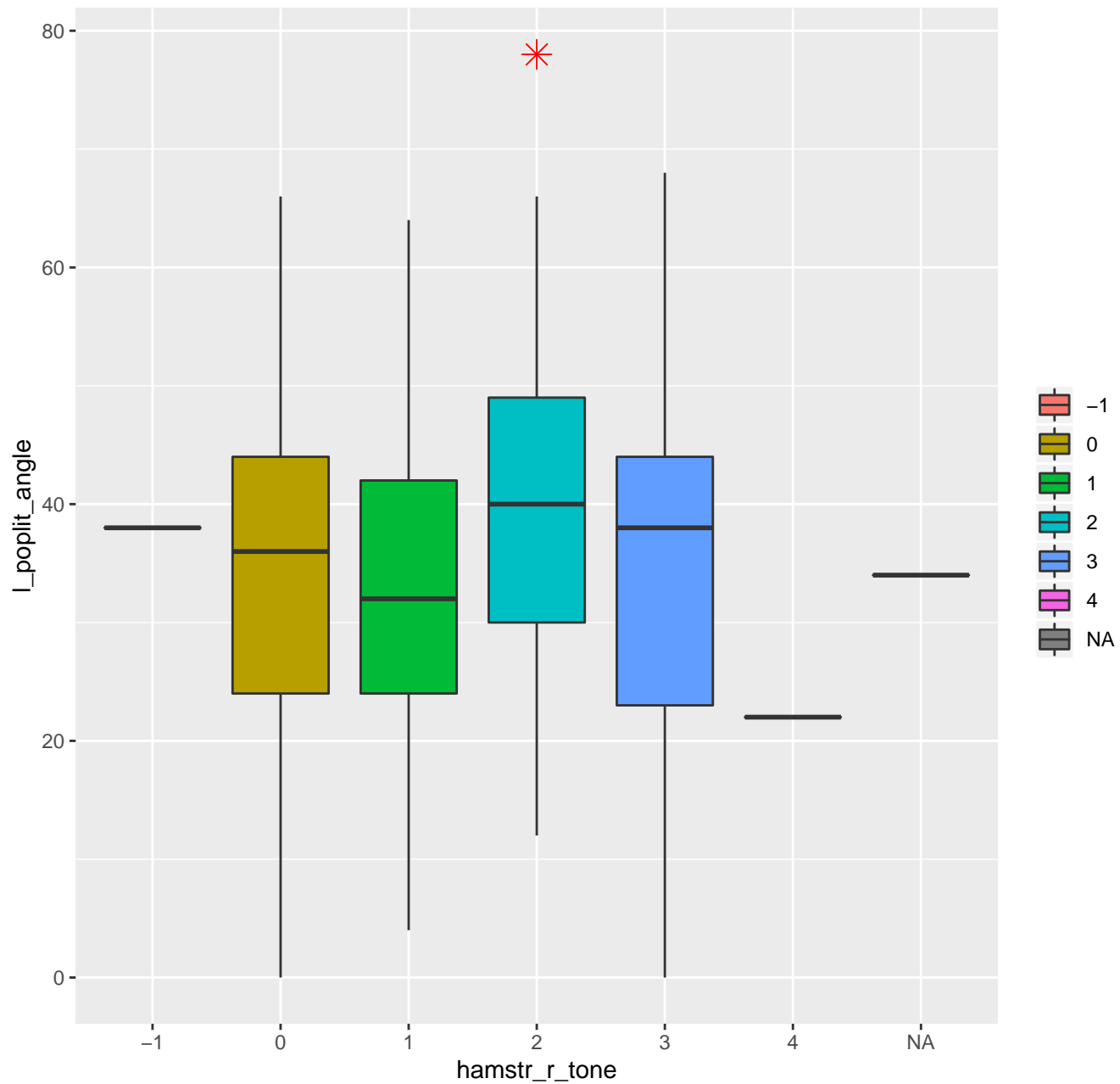




Gráfico de l\_poplit\_angle según hamstr\_l\_tone donde p-valor =  $6e-07$

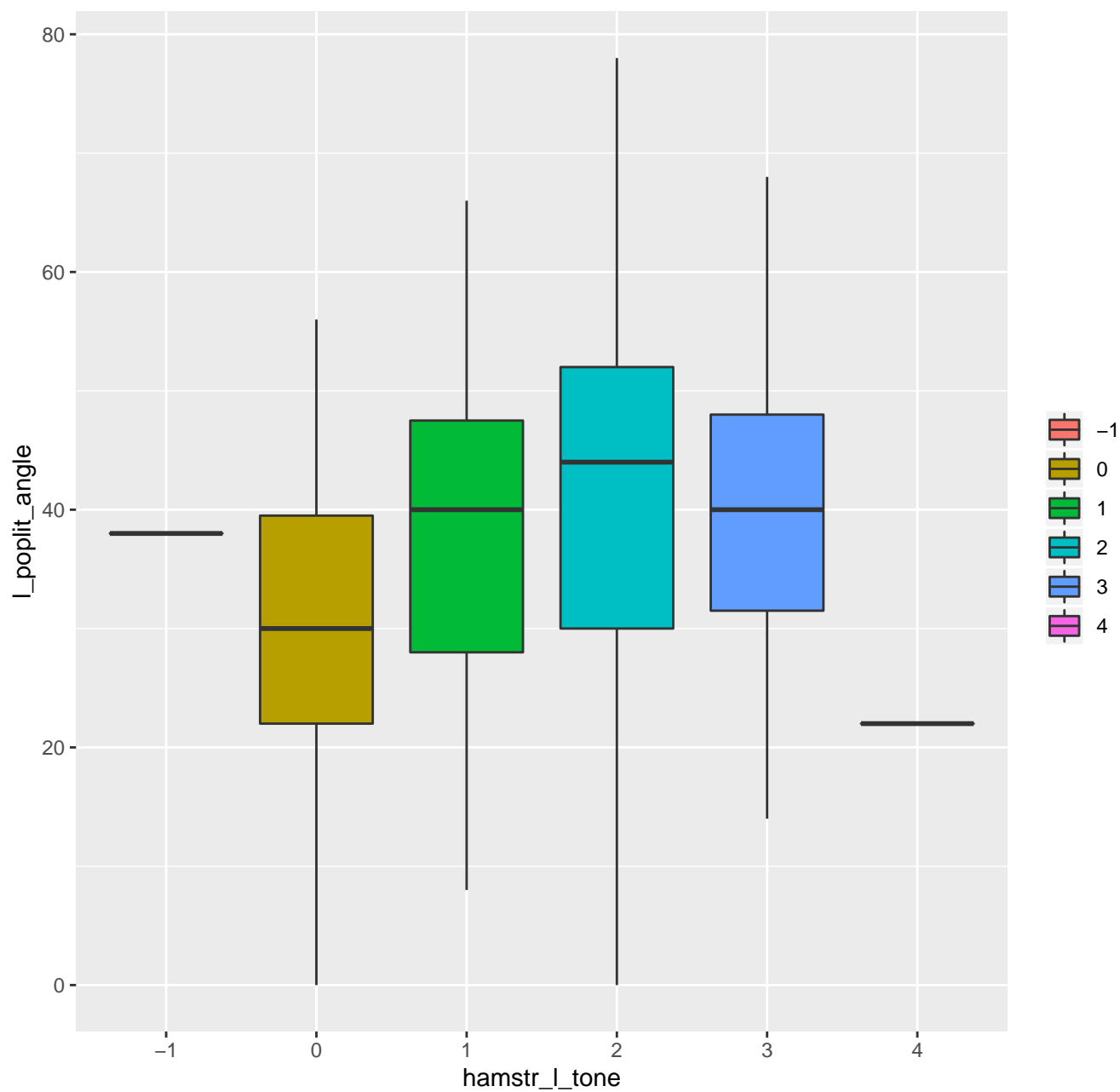


Gráfico de standar\_value según gmfc's donde p-valor = 0

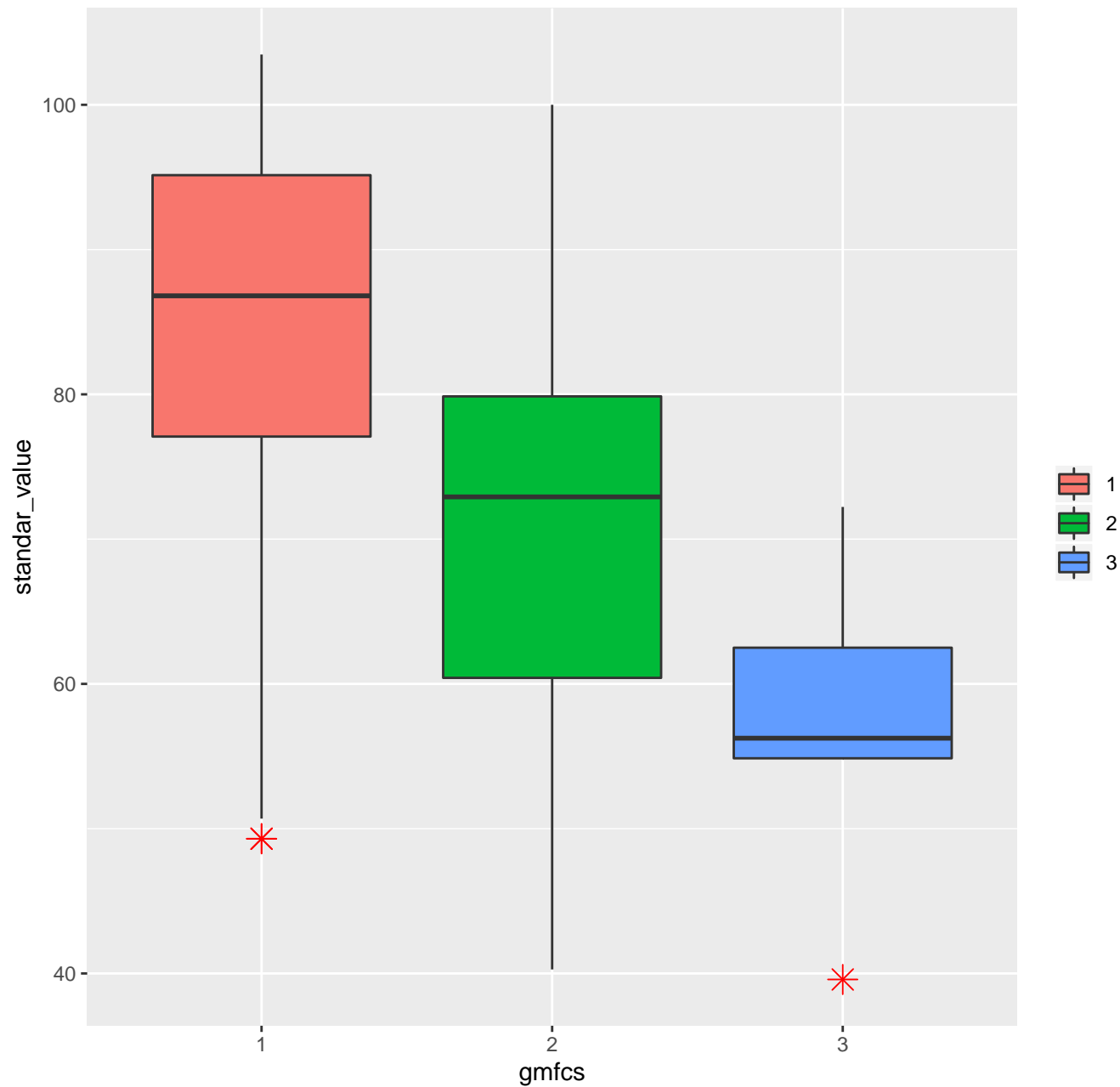


Gráfico de standar\_value según dyst\_sign donde p-valor = 0.0003326

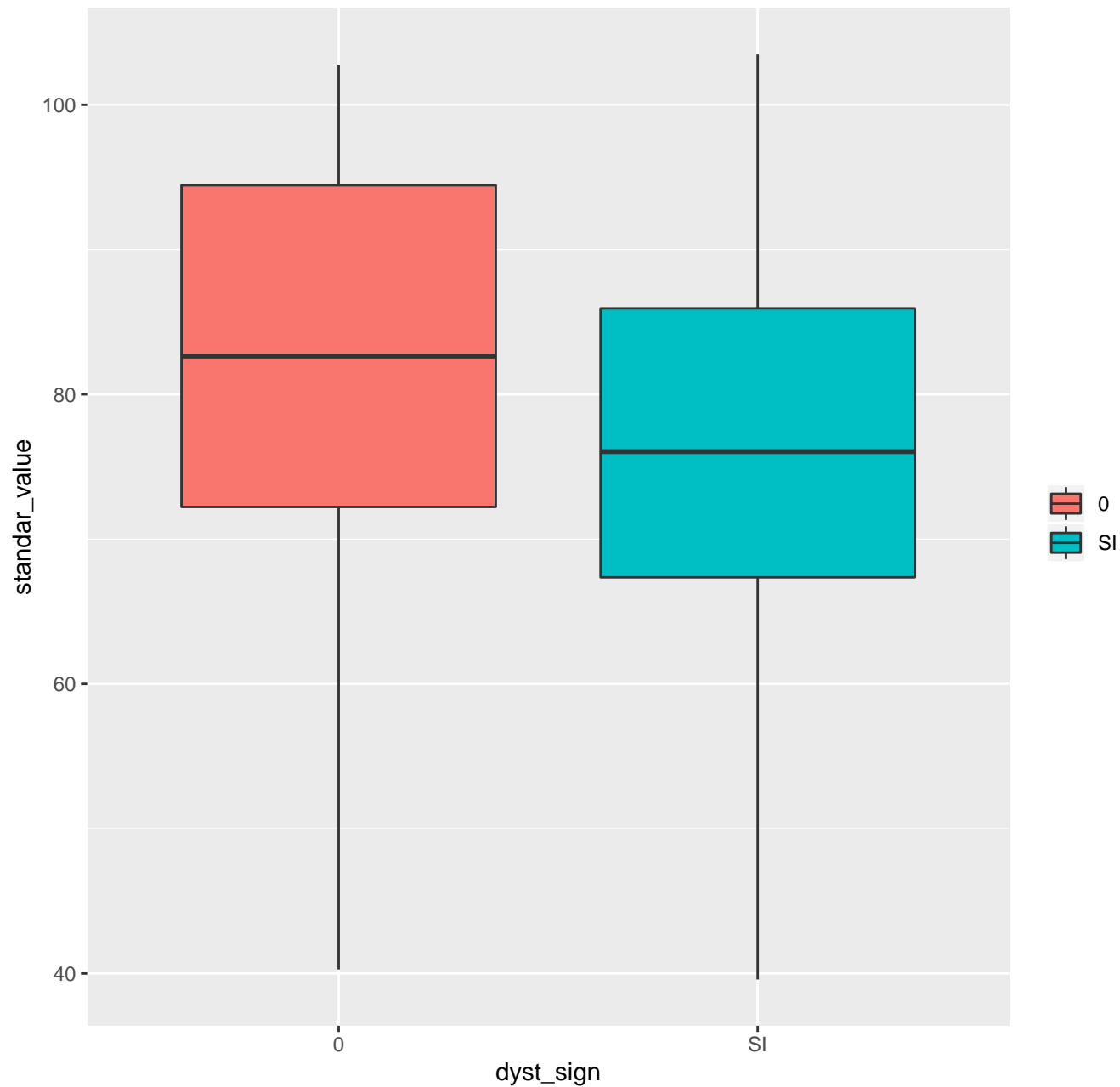


Gráfico de standar\_value según espast\_sign donde p-valor = 0.0010401

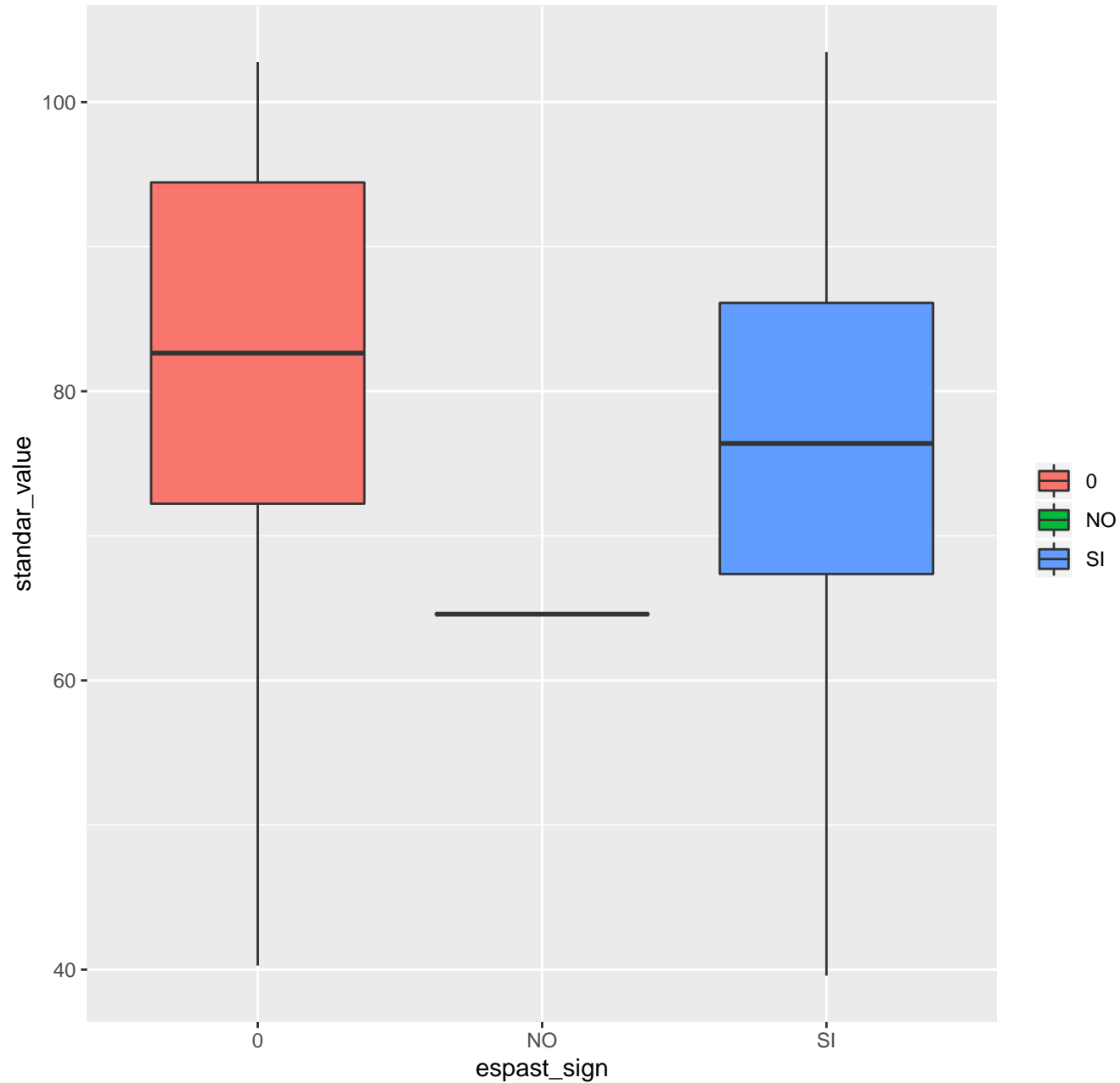


Gráfico de standar\_value según type donde p-valor = 0.0017314

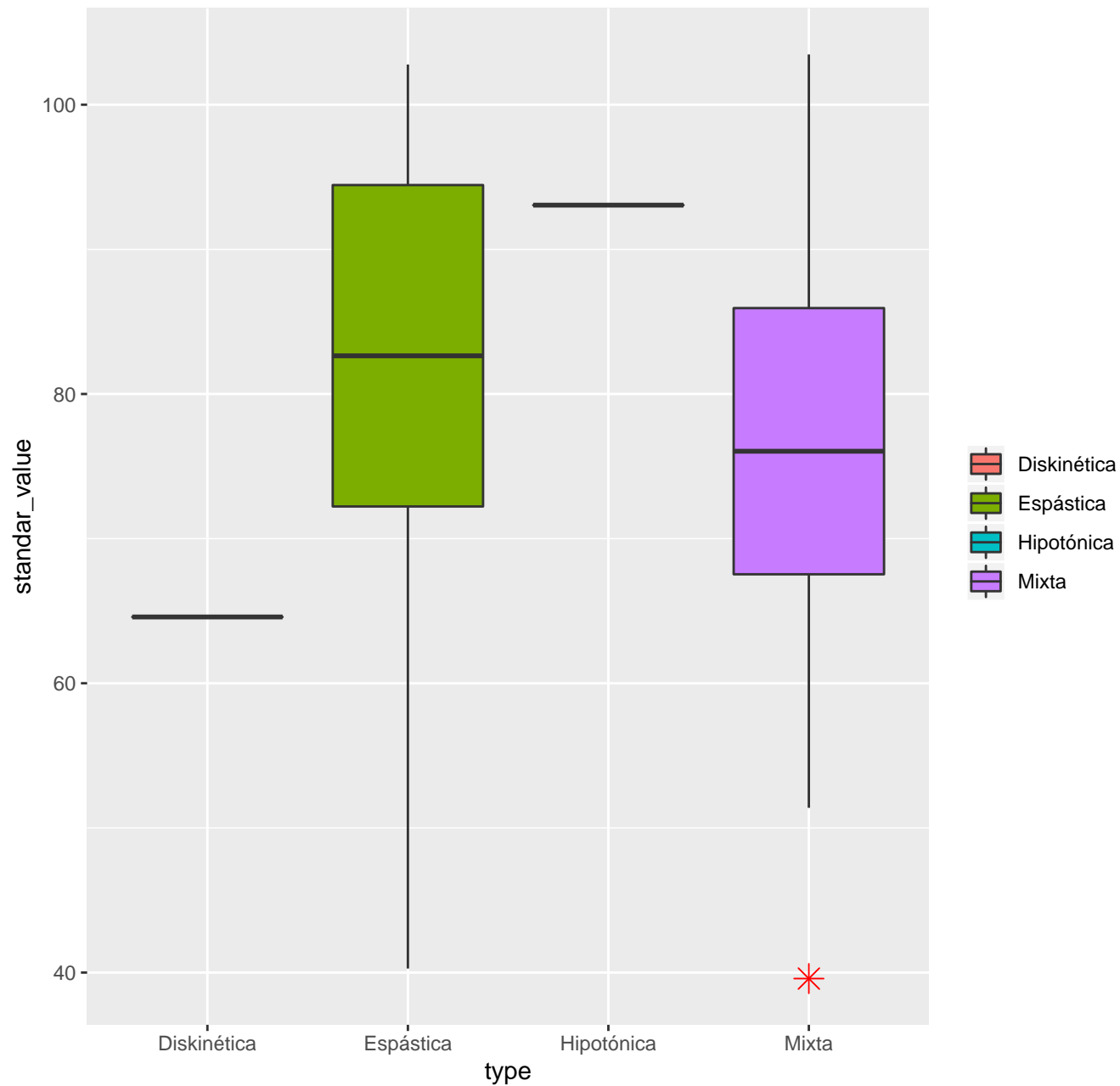


Gráfico de standar\_value según distrib donde p-valor =  $1.69 \times 10^{-5}$

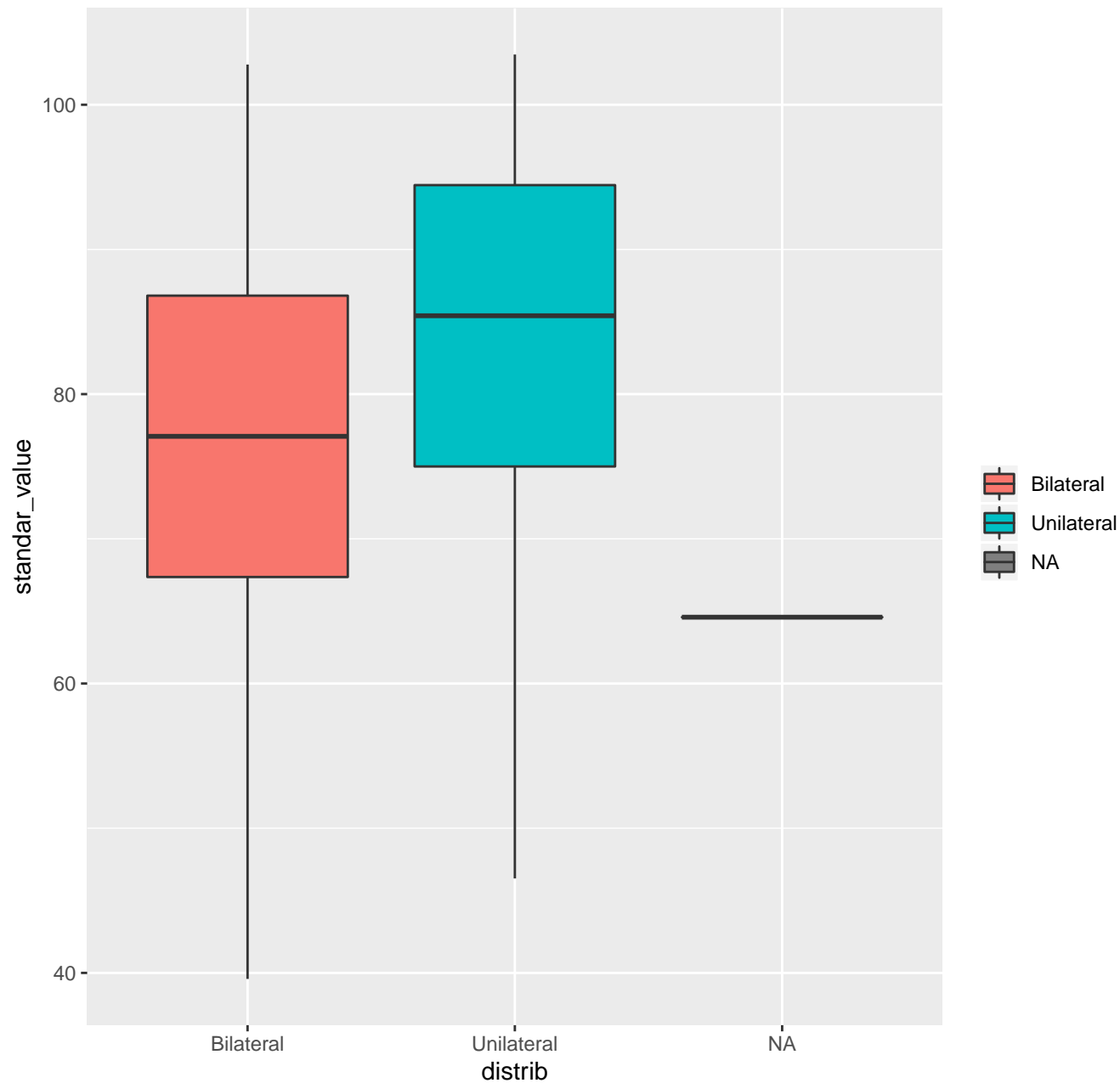


Gráfico de standar\_value según quad\_r\_tone donde p-valor = 0.0070433

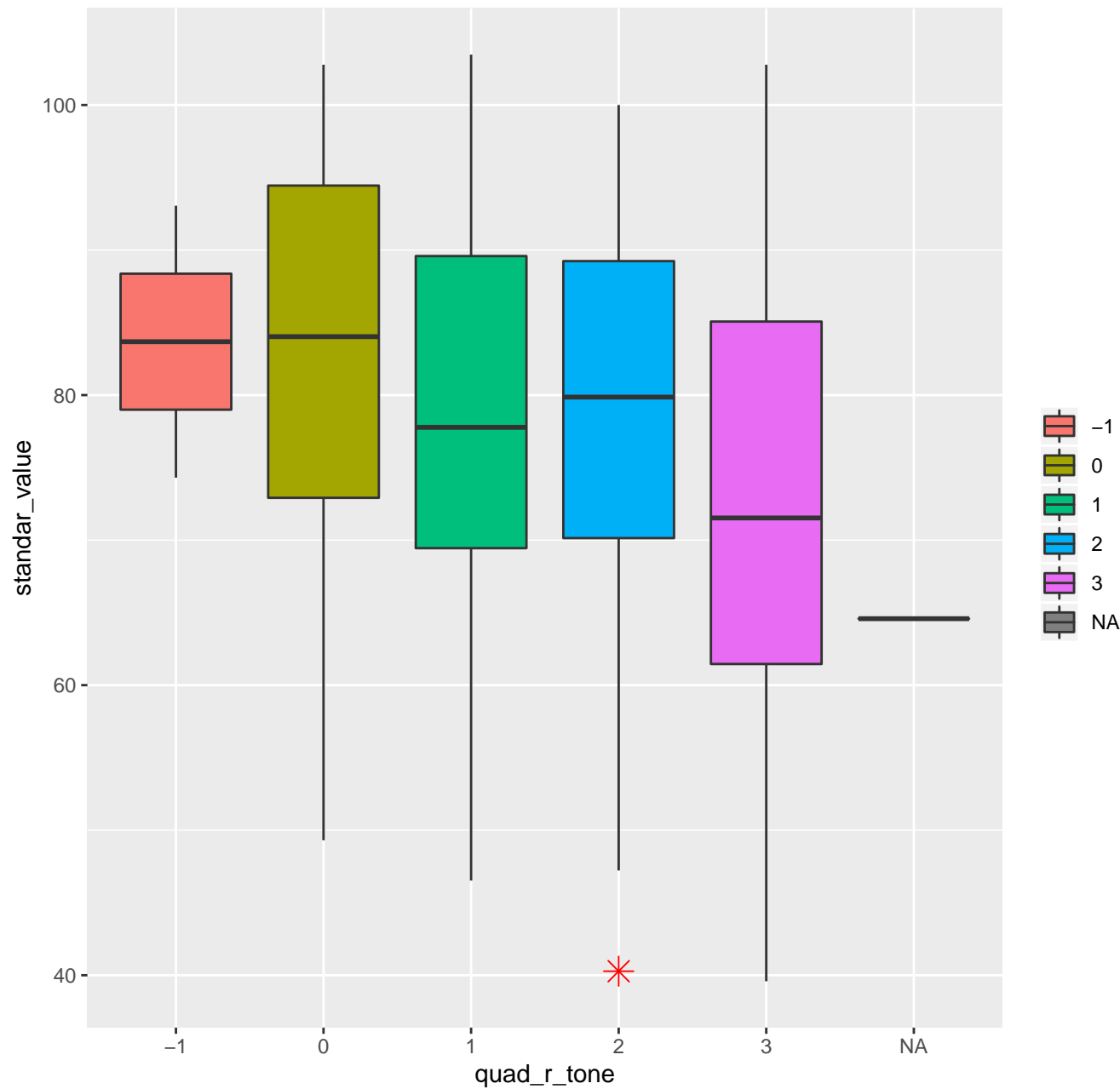


Gráfico de standar\_value según quad\_l\_tone donde p-valor = 0.0002057

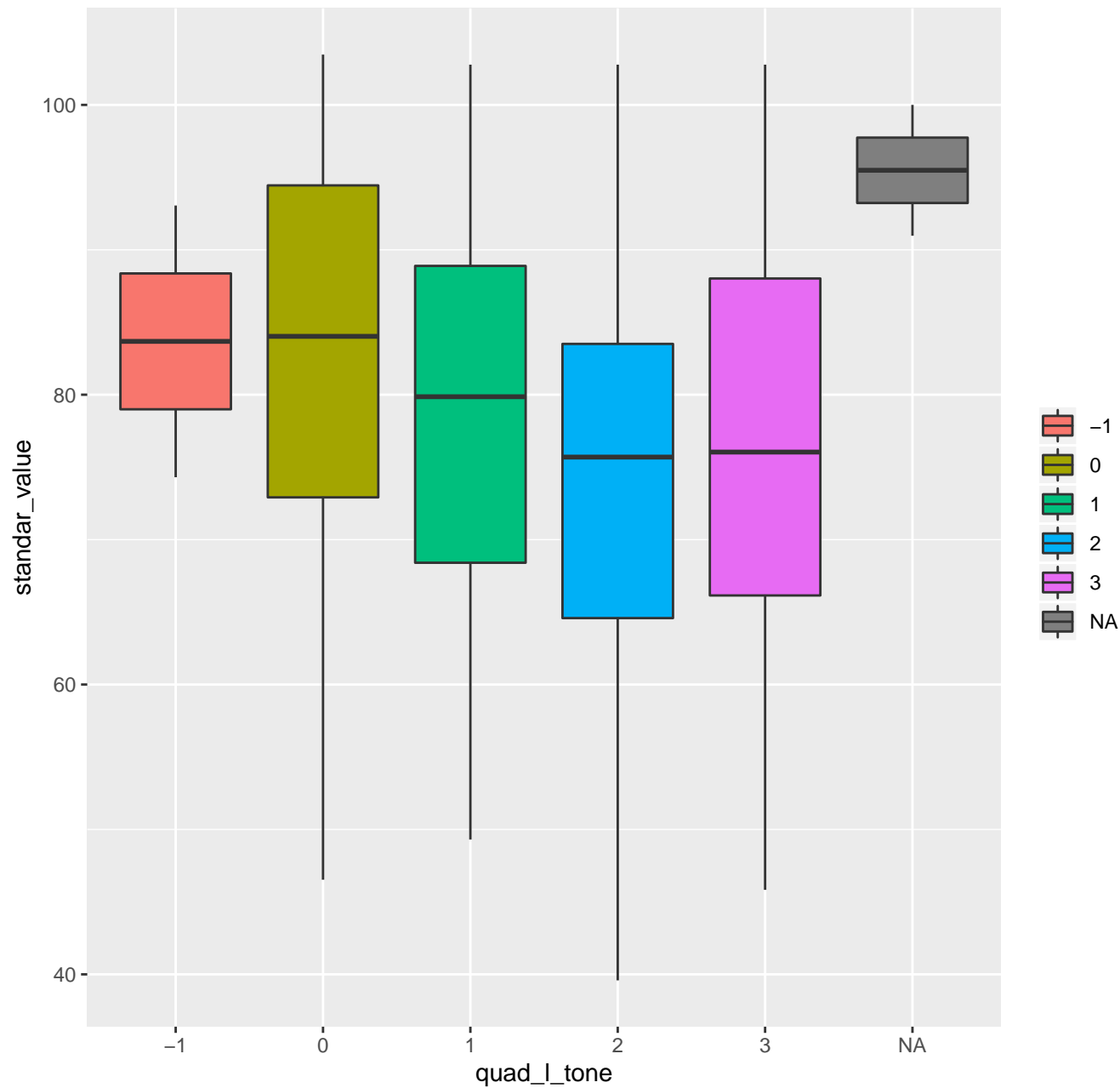




Gráfico de standar\_value según hip\_flex\_r\_tone donde p-valor = 0.0061387

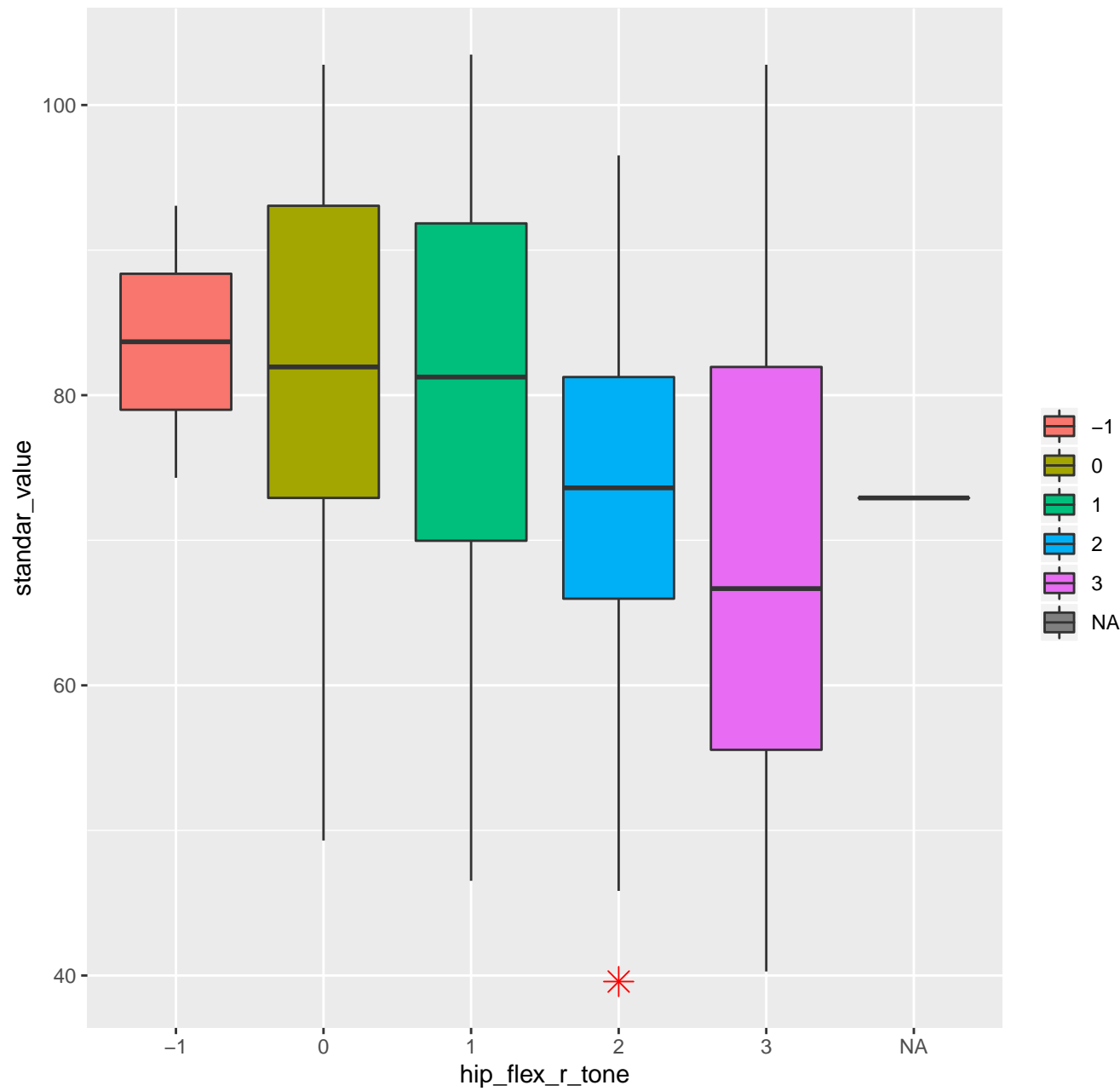


Gráfico de standar\_value según hip\_flex\_l\_tone donde p-valor = 0.00077

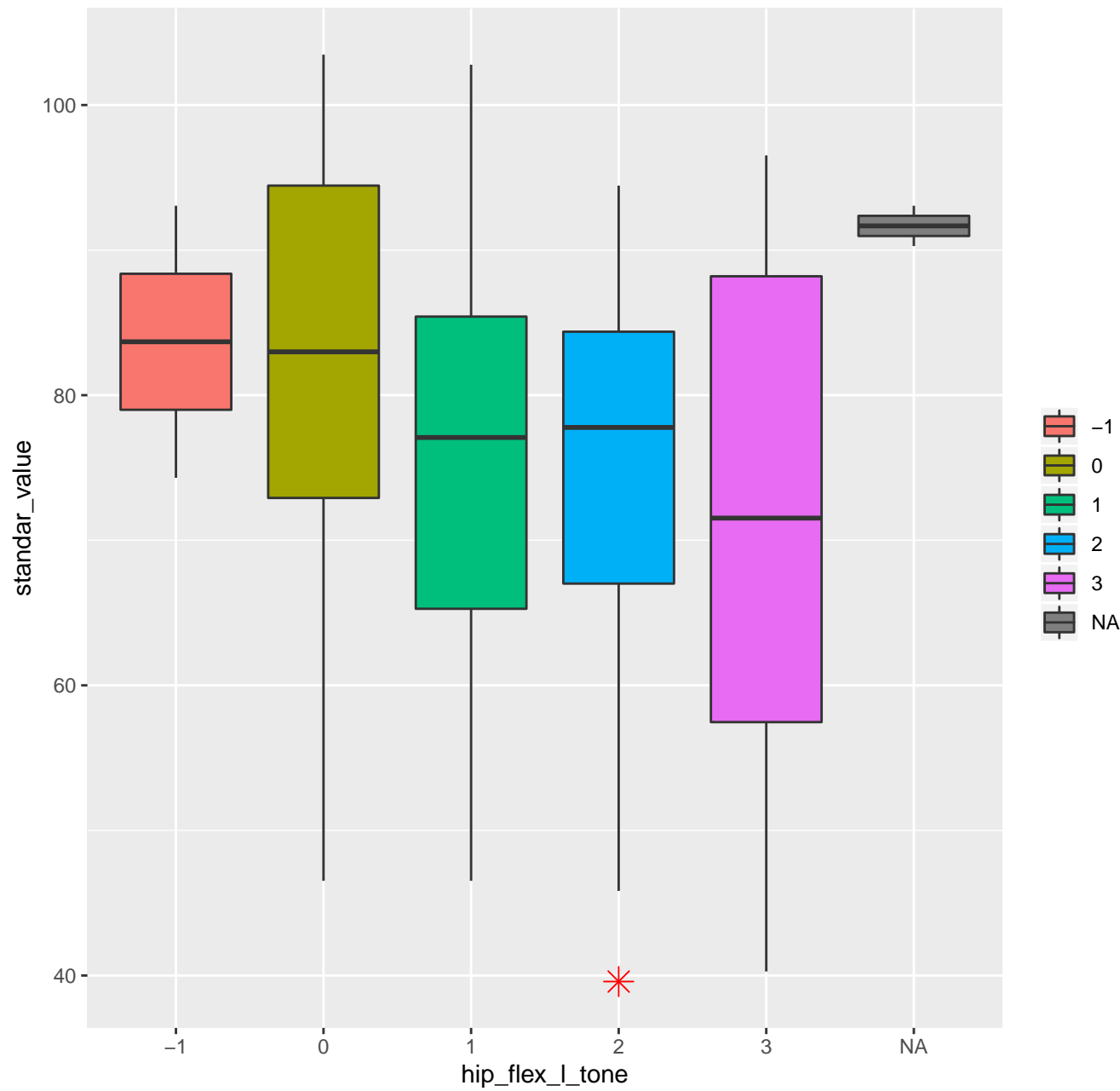


Gráfico de standar\_value según gastrocn\_l\_tone donde p-valor = 0.0174167

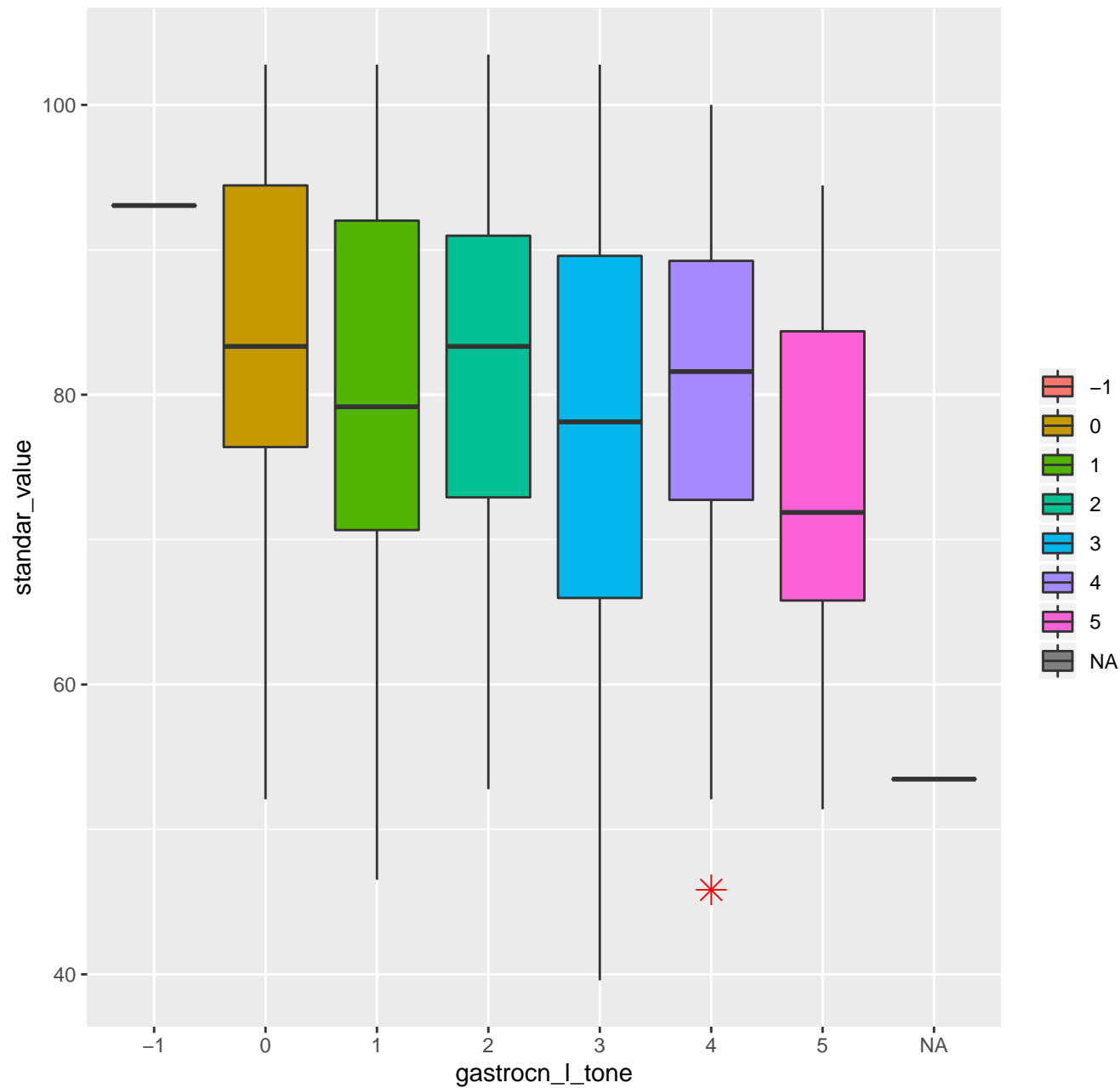


Gráfico de standar\_value según hamstr\_r\_tone donde p-valor = 0.0041834

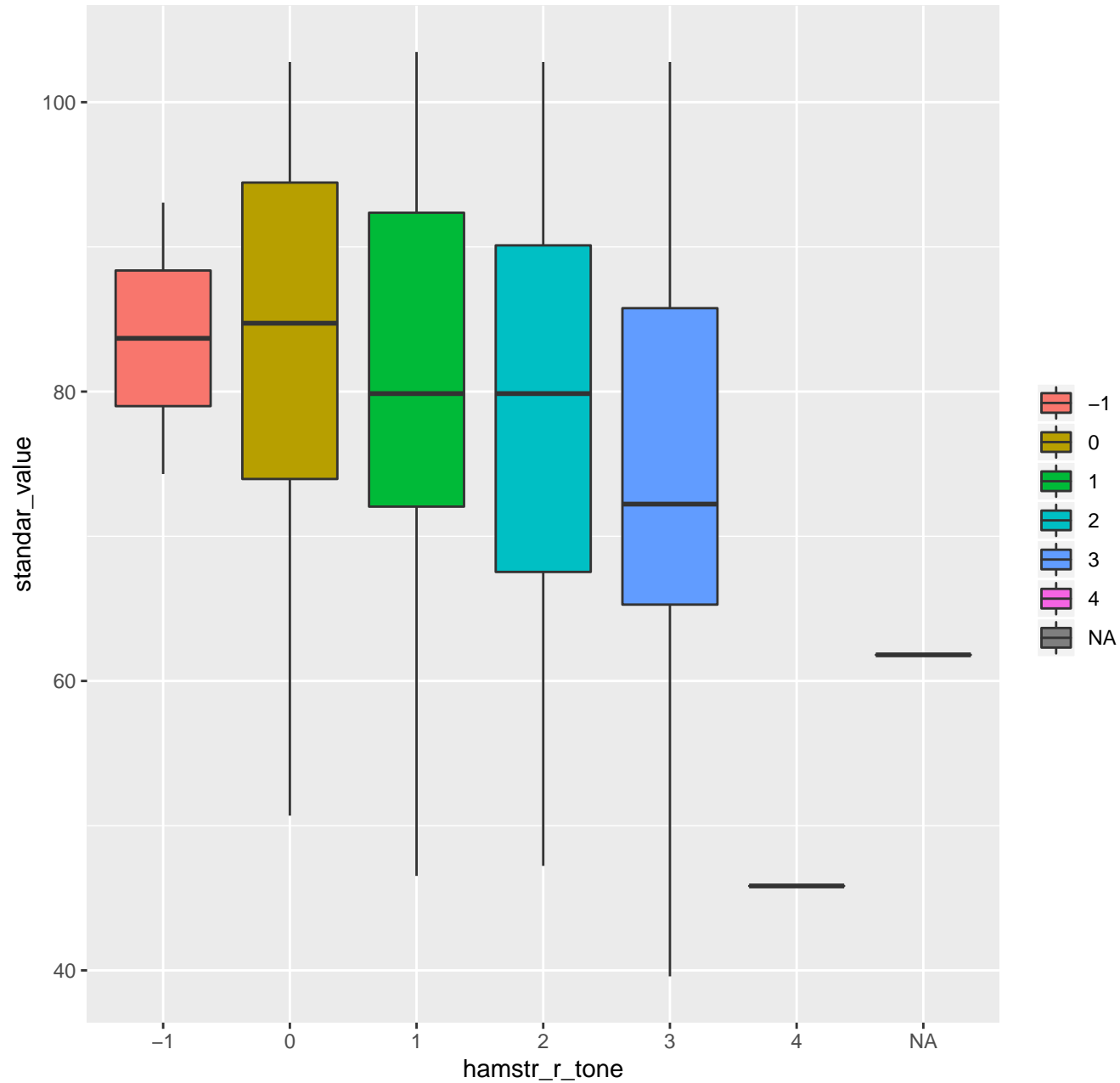


Gráfico de standar\_value según hamstr\_l\_tone donde p-valor = 0.0155416

